

Be/shell YILDIZI V923 AQL'nin YENİ GÖZLEMLERİ

Denizman, L.^{1,2}, Ak, T.³, Koktay, T.³, Saygaç, A.T.³, Koçer, D.³

1. İ.Ü.F.F. Fizik Bölümü
2. TÜBİTAK MAM, Uzay Teknolojileri Bölümü
3. İ.Ü. Gözlemevi, Araştırma ve Uygulama Merkezi

Özet Be yıldızı V923 Aql, bir çift yıldız adayıdır. Bu çalışmada, V923 Aql'ının optik ve yakın - kızılıtesi tayfsal ölçümleri sunulmuştur. V923 Aql, kabuk (shell) bileşenli değişken H Balmer çizgi profilleri göstermektedir. H_{α} profilleri de, R/V, E/C ve radyal hız değişimleri göstermektedir. Bu çalışmada ayrıca zarfa ait kabuk parametreleri de hesaplanmıştır.

Giriş

V923 Aql (HD 183656), uzun dönemli radyal hız ve V/R değişimleri gösteren bir Be yıldızıdır. Bu yıldızın uzun dönemli davranışını Koubsky ve ark., (1989) tarafından analiz edilmiştir. V923 Aql Jaschek Sınıflandırması'nda III. grup yıldız olarak sınıflandırılmıştır. Bu grubun yıldızları yalnızca H_{α} ve H_{β} ile keskin ve derin korlu daha yüksek düzeyden Balmer çizgileri (Hidrojen kabuk çizgileri) ve dar metalik absorbsiyon çizgileri gösterirler. Grup, maksimumu B8 olan ve B5'den A0'a kadar yayılan bir gruptur. Bidelman (1950), bu yıldızın Fe II ve metalik çizgileri içeren kabuk tayfına dikkati çekti. Vojkhanaskaya (1976), bu yıldızın çevrimsel V/R değişkenleri grubuna ait olduğunu teklif etti. Gulliver (1981) daha önce çalışılmış çok sayıdaki plagi yeniden inceleyerek, V/R oranı ile radyal hız değişimleri arasında bir korelasyon olduğunu ileri sürdü. Riguelet ve Shade (1981), görsel tayfları detaylı olarak inceledi. Riguelet ve ark., (1984), eşzamanlı IUE ve yer gözlemlerini yaptılar. Koubsky ve ark., (1989), 1927 - 1987 arasındaki radyal hız ölçümlerinin analizinden bu yıldızın 214.75 günlük bir周期e peryoduna sahip tayfsal bir çift yıldız olduğunu ileri sürdü.

Bu çalışmada, V923 Aql'ının optik ve yakın - kızılıtesi tayfları ve ilgili ölçümler verilmiştir.

Gözlemler

Optik ve yakın - kızılıtesi tayflar Haute Provence Gözlemevi'nin 152 cm'lik teleskopu ve Aurelie tayfçekeri ile yapıldı. Tayflar Trieste Gözlemevi'nde PDS 1010A dijital mikrodensitometresi ve ELSPEC yazılımı ile dijital hale getirildi. Aurelie CCD tayfları TÜBİTAK MAM, Uzay Teknolojileri Bölümü'nde SUN İş İstasyonu ve MIDAS yazılımı ile indirgendi. Radyal hızlarda beklenen toplam hata ± 5 km/s ve eşdeğer genişliklerde ± 0.2 'dur. Çizelge 1a,b'de gözlem bilgileri verilmektedir.

Tayfların Tanımlanması

Optik Tayflar

V923 Aql, değişken profilleri ile bir kez iyonlaşmış elementlerin zengin bir kabuk tayfini gösterir. Tüm çizgiler radyal hızlarında ve eşdeğer genişliklerinde küçük - at sistematik değişimler gösterirler. Şekil 1'de H_{α} profilleri görülmektedir. Salma hızları V/P değişimleri vardır. Keza merkezi soğurma bileşeninin şiddet ve radyal hızı değişikendir. $H_{\beta/\gamma}$ çizgilerinin genel yapıları H_{α} profillerine benzer. Çizelge 2a,b'de H_{α} çizgilerinin

tayfsal parametreleri verilmektedir. Diğer çizgilerden, Fe II (20, 27, 28, 32, 37, 38, 42, 48, 49, 74, 173, 199) multipletleri ile $\lambda\lambda$ 4923, 5018, 5169, 6330Å çizgileri görülmüştür. Ti II (13, 19, 31, 30, 34) ve Si II (2, 3) multipletleri de keskin kabuk profilleri biçiminde ıştaya çıkarlar ve değişken radyal hızlara sahiptirler. Gözlenen diğer çizgiler ise, He I $\lambda\lambda$ 4471, 5875Å, Mg II $\lambda\lambda$ 4481Å, Na I $\lambda\lambda$ 5890, 5895Å ve Ca II $\lambda\lambda$ 3933, 3968Å şeklindedir.

Yakın - Kızılıötesi Tayflar

Hidrojen'in Paschen çizgileri $n=22$ 'ye kadar, geniş yıldız çizgileri üzerine binmiş dar kabuk bileşenleri şeklinde görülebilmektedir. O I $\lambda\lambda$ 8446Å, Ca II tripleti $\lambda\lambda$ 8498, 8542, 8662Å, P13, 15 ve 16 çizgileri ile karışım halindedir. N I $\lambda\lambda$ 8629, 8680, 8686, 8703, 8712, 8719Å çizgileri de görülmektedir. Ayrıca, Fe I (12, 401, 462, 622, 1136, 1050, 1153, 1154, 1172, 1261, 1266, 1269, 1270, 1272, 1286), Cl I (2), Cr I (57), Y (299), Ni I (109, 290), Co I (193), Zr I (40), Al I (16), Ti I (141, 195) S II (31, 68), V I (30), He I (68), Ne I (12), Mn I (49, 53), Si I (46), S I (6), N I (1) elementleri ve multipletleri de belirlenebilmiştir. Paschen, O I ve N I çizgilerine ait radyal hız ölçümleri Çizelge 3'de verilmektedir.

Tartışma ve Sonuç

V923 Aql, optik ve morötesi bölgede ayrıntılı olarak Riguet ve Shade (1981) ve Ringuelet ve ark., (1984) tarafından çalışılmıştır. Bizim çalışmamızdaki optik veriler söz konusu bu çalışmalarla karşılaştırıldı. Bu karşılaştırma sonucunda, optik tayflarımız bu çalışmalarındaki tayflarla büyük benzerlik gösterdi. Bir önemli fark $n>8$ 'den sonraki Hidrojen çizgilerindeki, Fe II 38 ve 74 multipletleri, Ca II ve Na I çizgilerindeki dar kabuk bileşenleri söz konusu çalışmalarındaki kadar belirgin gözlenmemesidir. Bunun nedeni bizim gözlemlerimizdeki dispersiyonun daha küçük olmasıdır.

Ayrıca Kogure (1977)'nin modeli Hidrojen'in Balmer serisi çizgilerine uygulandı. Bu V923 Aql'nin zarfinin fiziksel ve geometrik yapısını açık olarak ortaya koyan bir modeldir. Zarfa ilişkin hesaplanmış parametreler Çizelge 4'de verilmektedir.

Bu çalışmada, V923 Aql'nın tayfları diğer III Grup Yıldızlar'la ve Kabuk Yıldızları ile bir karşılaştırması yapıldı. Önemli bir sonuç olarak, O I $\lambda\lambda$ 8446Å çizgisi çok dar ve kuvvetli bir soğurma kabuk bileşeni olarak ortaya çıkarken, H_{α} 'nın göreli olarak kuvvetli bir salma profili olarak görünmesidir.

Bu çalışmanın amacı esas olarak V923 Aql'nın bir Be/shell tipi çift yıldız adayı olarak optik ve yakın - kızılıötesi tayflarını sunmaktır. Yakın - kızılıötesi bölgede ayrıntılı çizgi tanımlanması yapıldı. Sentetik ve geç tip yıldızların tayfları ile karşılaştırılarak bileşen yıldızı ilişkin katkının olup olmadığını araştırılması gerekmektedir. Şimdiye kadar bu yıldızın çift olabileceği iləşkin en önemli ipucu, Ringuelet ve Shade (1981) ve Ringuelet ve ark., (1984) tarafından yapılan çalışmalarla H ve Fe II çizgilerinin çift bileşenli olarak gözlenmesi oldu. Bizim gözlemlerimizde ise düşük dispersiyondan dolayı bu bileşenler gözlenmedi. Dolayısı ile bu yıldızın daha yüksek dispersiyon ve iyi S/N oranı ile faklı dalgaboyları aralıklarında gözlenmesi, çift olabileceği görüşüne bir açıklık getirecektir.

Kaynaklar

- Bidelman, W.P., 1950, Pub. Astr. Soc. Pas., **62**, 125.
- Gulliver, A.F., 1981, Astrophys. J., **248**, 222.
- Kogure, T., 1977, Pub. Astr. Soc. Pas., **29**, 477.
- Koubek, P., Gulliver, A.F., Harmenec, P., Ballereau, D., Ghauville, J., Graf, T., Horn, J., Illiev, L.H., Lyons, R.W., 1989, Bull. Astron. Inst. Czechosl., **40**, 31.
- Ringuelet, A.E., Sahade, J., 1981, Pub. Astr. Soc. Pas., **93**, 594.
- Ringuelet, A.E., Sahade, J., Rovina, M., Fontenla, J.M., Kondo, Y., 1984, Astron. Astrophys., **131**, 9.
- Vojkhanaskaya, P., 1976, IAU Symposium, No. **70**, 327.

Çizelge 1a. V923 Aql'nin Optik Gözlem Bilgileri

JD2400000+	Tayf	Emülsiyon	Dispersiyon Å/mm	Etkin Dalgaboyu Aralığı (Å)
46584.564	GB 9188	II a0ch	12	3600 - 5100
46683.443	GA 7251	IIIaF H	20	4800 - 6700
46640.459	GA 7255	IIIaF H	20	4800 - 6700
46640.550	GA7256	II a0ch	20	3600 -5100
46640.912	GB 9208	II a0ch	12	3600 -5100
46929.584	GA 7541	II a0ch	20	3600 -5100
46930.523	GA 7544	II a0ch	20	3600 -5100
46930.580	GA 7545	IIIaF H	20	4800 - 6700
46989.564	GB 9582	II a0ch	12	3600 - 5100
46990.541	GA 7615	IIIaF H	20	4800 - 6700

Çizelge 1b. V923 Aql'nin Yakın - Kırmızıötesi Gözlem Bilgileri

JD 2400000+	Blaze (Å)	Merkezi Dalgaboyu	Filtre	Dispersiyon (Å/mm)	Poz Süresi (s)	A.D.U.	Reseau (iz/mm)
48798.774	6000	8350	OG515	33.3	7504	16500	300
48799.610	6000	8350	OG515	33.3	7413	19800	300

Çizelge 2a. Ha çizgisine ait tayfsal parametreler

JD 2400000+	MSB E/C	MSB FBWC (Å)	MSB EW (Å)	MS Derinlik (c.u.)	MS Vr (km/s)	MS EW (Å)	KSB E/C	KSB FBWC (Å)	KSB EW(Å)
46640.486	1.8	6.6	2.6	0.8	-14.9	1.2	1.6	6.1	1.8
46930.580	2.2	7.0	4.2	0.6	-5.4	1.1	1.9	7.6	3.2
46990.541	1.7	7.7	2.7	0.6	-12.3	0.8	1.7	7.6	2.7

MSB : Mavi salma bileşeni, MS : Merkezi sogurma bileşeni, KSB : Kırmızı salma bileşeni

Çizelge 2b. Hβ çizgisine ait tayfsal parametreler

JD 2400000+	MSB I_λ (c.u.)	MS Derinlik (c.u.)	MS Vr (km/s)	MS EW (Å)	KSB I_λ (c.u.)
46584.564	0.88	0.02	-5.49	3.21	0.79
46640.912	0.89	0.22	-14.90	2.53	0.82
46929.584	0.80	0.08	-11.76	2.52	0.81
46930.523	0.70	0.10	-12.01	2.38	0.78
46989.564	0.82	0.02	-18.11	2.61	0.87

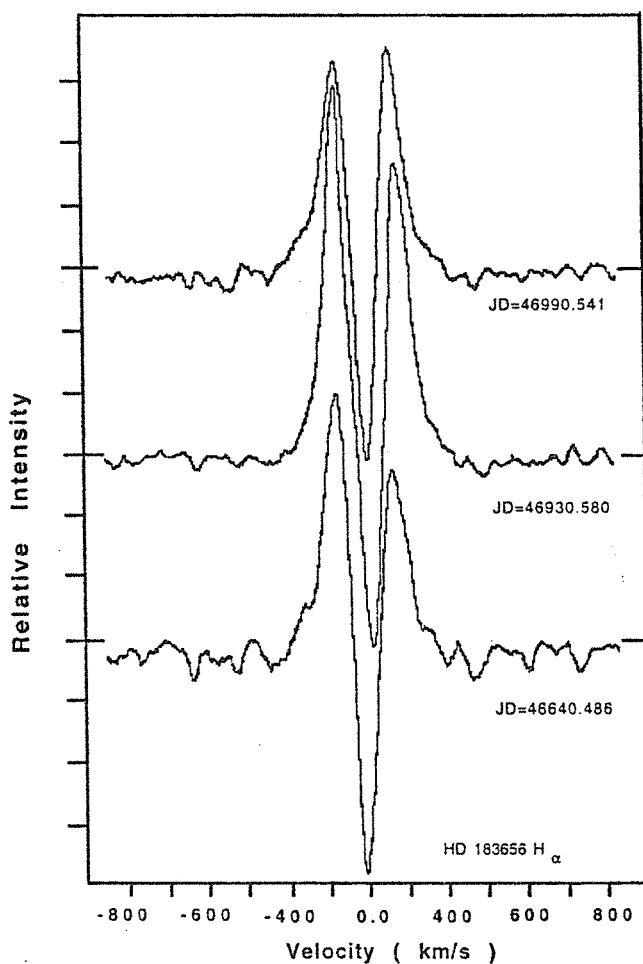
Çizelge 3. Paschen, N I ve O I çizgilerinin radyal hızları

JD 2400000+	Paschen (km/s)	n	N I (km/s)	n	O I (km/s)
48798.774	-2.93	6	+1.60	7	+6.31
48799.610	-5.54	6	+0.92	6	+2.41

*Çizelge 4. V923 Aql'nın zarfinin kütleleri ve ortalama elektron yoğunluğu. Zarfin dönmesi Kepler hareket yasası ile ($j = 1/2$) ve korunan açısal momentum ile ($j = 1$) verilmiştir.
 $R^*/R = 3.63$ (Allen, C.W., 1973, *Astrophysical Quantities*, London).*

JD 2400000+	H/R*	Ra/R*	R(e,H α)/R*	< N ₂ >	< Ne >	Mgaz / M \odot Her Tabaka	Toplam
j = 1 / 2							
46640.9	0.35	2.38	1.18	$8.63 \cdot 10^3$	$1.09 \cdot 10^{11}$	$3.18 \cdot 10^{-11}$	
	0.55					$5.00 \cdot 10^{-11}$	$8.18 \cdot 10^{-11}$
46989.6	0.55	2.86	1.17	$1.07 \cdot 10^4$	$1.20 \cdot 10^{11}$	$5.64 \cdot 10^{-11}$	
						$6.26 \cdot 10^{-11}$	$1.19 \cdot 10^{-10}$
j = 1							
46640.9	0.35	2.18	1.14	$1.34 \cdot 10^4$	$1.76 \cdot 10^{11}$	$2.75 \cdot 10^{-11}$	
						$4.33 \cdot 10^{-11}$	$7.08 \cdot 10^{-11}$
46989	0.55	2.20	1.13	$1.66 \cdot 10^4$	$1.94 \cdot 10^{11}$	$4.87 \cdot 10^{-11}$	
						$5.41 \cdot 10^{-11}$	$1.03 \cdot 10^{-10}$

H / R* : Yıldız yarıçapı biriminde ekvator düzleminden itibaren disk yüksekliği, Ra / R* : İlgili gözlem anında gerçek ekvatorun alt sınırı, R(e,H α) / R* : yıldız yarıçapı biriminde H α 'nın salma yarıçapı, < N₂ > : Hidrojen atomunun ikinci enerji seviyesindeki ortalama popülasyonu, < Ne > : Ortalama elektron yoğunluğu, Mgaz / M \odot : Güneş kütlesi biriminde zarfin kütlesi.



Şekil 1. H α profilleri